

## کنترل اندازه‌ی ذرات و غلظت سیلیکای کلوئیدی سنتز شده با استفاده از آب شیشه

به روش جانشینی کاتیونی\*

نرمین منتخب<sup>(۱)</sup> حسین عربی<sup>(۲)</sup> محمد رضا ابوطالبی<sup>(۳)</sup> صدیقه صادق حسنی<sup>(۴)</sup>

### چکیده

در این تحقیق، سُل سیلیکای کلوئیدی به روش جانشینی کاتیونی و با استفاده از رزین کاتیونی آمبرلیت از محلول بازی سیلیکات سدیم (آب شیشه) تهیه شد. غلظت سُل سیلیکای نهایی با ثابت در نظر گرفتن دما و نرخ تیتراسیون اسید و با تغییر مقدار  $pH$  غلظت اسید سیلیسیک و محلول بازی اولیه، تعییر کرد. توزیع اندازه‌ی ذرات و پتانسیل زتا برای سُل های کلوئیدی با استفاده از آزمون طیف‌سنجه نوری دینامیکی (DLS) تعیین شد. نمونه‌های سنتز شده تحت آزمون‌های طیف‌سنجه جذب اتمی (AAS)، پراش پرتوی  $X$  (XRD)، تعیین سطح ویژه و تخلخل سنجه (ASAP) قرار گرفتند و ریزساختار آن‌ها با استفاده از میکروسکوپ الکترونی روبشی (SEM) مطالعه شد. نتایج این تحقیق نشان دادند که اندازه‌ی ذرات و پایداری سُل های سیلیکای کلوئیدی متأثر از عواملی نظیر دما، نرخ تیتراسیون اسید،  $pH$  غلظت اسید سیلیسیک و محلول بازی اولیه است. اندازه‌ی بهینه‌ی ذرات سیلیکای سنتز شده در این تحقیق برابر با ۲۶ نانومتر و سطح ویژه‌ی ذرات برابر با  $160 \text{ m}^2/\text{g}$  برابر نمونه‌ی بهینه تعیین شد.

**واژه‌های کلیدی** سیلیکای کلوئیدی، جانشینی کاتیونی رزین، سیلیکات سدیم (آب شیشه)، اسید سیلیسیک

## Control of Particle Size and Concentration of Colloidal Silica Formed via Cation Exchange Resin by Water Glass Solution

N. Montakhab

H. Arabi

M. Reza. Aboutalebi

M. Alizadeh

S. Sadegh Hassani

### Abstract

This study is focused on the formation of colloidal silica by Amberlite cation exchange resin via alkaline water glass solution ( $\text{Na}_2\text{SiO}_3$ ). Concentration of the colloidal silica and pH value of the solution was controlled by using different amounts of alkaline sodium silicate solution and silicic acid concentrations in constant temperature and titration rate of silicic acid. The colloidal silica formed at these conditions was characterized by Dynamic Light Scattering (DLS), Particle size Analysis, Zeta Potential Analyzer, Atomic Absorption Spectroscopy (AAS), Scanning Electron Microscopy (SEM), X-Ray Powder Diffraction (XRD) and Accelerated Surface Area and Porosimetry Analyzing (ASAP). The results showed that the average particle size of colloids and their stability were also influenced by above-mentioned parameters including temperature, titration rate of silicic acid, pH value, silicic acid concentration and alkaline sodium silicate solution concentration. Results also showed an average particle size of 26 nm and a fairly large BET surface area of about  $160 \text{ m}^2/\text{g}$  for these colloidal dispersions.

**Key Words** Colloidal Silica, Cation Exchange Resin, Sodium Silicate (water glass), Silicic Acid.

\* نسخه‌ی نخست مقاله در تاریخ ۹۱/۱/۲۵ و نسخه‌ی پایانی آن در تاریخ ۹۲/۱/۱۹ به دفتر نشریه رسیده است.

(۱) دانش آموخته‌ی کارشناسی ارشد، دانشکده مهندسی مواد و متالورژی، دانشگاه علم و صنعت ایران

(۲) نویسنده‌ی مسؤول: استاد دانشکده مهندسی مواد و متالورژی، دانشگاه علم و صنعت ایران

(۳) استاد دانشکده مهندسی مواد و متالورژی، دانشگاه علم و صنعت ایران

(۴) دانشیار پژوهشکده فناوری نانو و مواد پیشرفته، پژوهشگاه مواد و انرژی

(۵) دانش آموخته‌ی کارشناسی ارشد پژوهشکده نانو، پژوهشگاه صنعت نفت ایران

مایع است. به عنوان مثال، اروپل سوسپانسیونی کلوئیدی است از ذرات جامد در یک گاز (ممکن است سوسپانسیون شامل ذرات مایع باشد که "مه" و یا شامل ذرات جامد باشد که "دود" نامیده می‌شود) و امولسیون سوسپانسیونی است از قطره‌های مایع یا جامد در مایعی دیگر. تمام این کلوئیدها برای تولید پلیمرها یا ذراتی که از آن‌ها می‌توان مواد سرامیکی درست کرد، استفاده می‌شوند [3,4].

روش استوپر یکی از متعارف‌ترین روش‌های سنتز نانوسیلیکا است [5]. در این روش، از تراستراها و آمونیا به عنوان مواد خامی که در محلول الكل واکنش می‌دهند، برای سنتز سیلیکای مزدوج استفاده می‌شود. چن و همکاران، [6]، نیز روش جدیدی را برای تشکیل دانه‌های سیلیکای تکاندازه با استفاده از Si(OH)<sub>4</sub> و هیدرولیز ترااتیل اورتو سیلیکات (TEOS) به عنوان ماده‌ی خام استفاده کردند. آن‌ها نشان دادند که ذرات جدید در شرایط خاصی تشکیل می‌شوند که شامل رشد ذرات سیلیکا با کنترل نفوذ گونه‌های متراکم دارای بار الکتریکی در برابر دفع الکترواستاتیکی بر روی سطح ذرات سیلیکا است. کونن و کروايف، [7]، نیز از فرایند استوپر استفاده کردند، ولی در کار خود از لودوکس (Lodux) تجاری به عنوان منبع اولیه برای سنتز و رشد ذرات سیلیکای کلوئیدی استفاده کردند. یوشیدا و همکاران، [8]، نیز روش‌های مختلفی شامل پراکنده‌سازی (Peptizing)، خنثی‌سازی اسیدی و روش تبادل یونی را برای تهیه سیلیکای کلوئیدی پیشنهاد کردند.

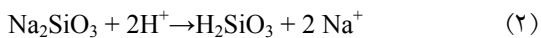
افزون بر روش‌های فوق‌الذکر و چند روش جدید سنتز، [9]، که در آن‌ها از منابع آلی به عنوان منبع اولیه سیلیس در فرایند سنتز استفاده می‌شود، روش‌های دیگری هم برای سنتز سیلیکای کلوئیدی به کار گرفته شده‌اند. در این روش‌ها، از منبع ارزان قیمت سیلیکات سدیم (آب شیشه) برای سنتز استفاده شده است [10]. در این تحقیق نیز از روشی مقرر به

## مقدمه

دی اکسید سیلیسیم (SiO<sub>2</sub>) یکی از اجزای اصلی پوسته‌ی زمین است. این اکسید به همراه ترکیبی از اکسیدهای منیزیم، آلومینیم، کلسیم و آهن، کانی‌های سیلیکاتی خاک را تشکیل می‌دهد. به تمامی ترکیبات سیلیسیمی در شکل‌های بلورین، بی‌شکل، حل شده و یا به شکل ترکیب شیمیایی شامل اتم‌های سیلیسیم احاطه شده با چهار و یا شش اتم اکسیژن، سیلیکا اطلاق می‌شود. تمامی شکل‌های سیلیکا از پیوند O-Si شده‌اند و پایدارترین شکل پیوند از نوع Si-X می‌باشد. طول پیوند Si-O حدود ۰/۱۶۲ نانومتر است که از مجموع شعاع‌های کووالانت اتم‌های سیلیسیم و اکسیژن (۰/۱۹۱ نانومتر) کوچک‌تر است. فرایند تشکیل سیلیکای کلوئیدی از قرن نوزدهم مورد توجه بسیاری بوده است. سیلیکای کلوئیدی در ساخت کاغذ و مدل در صنایع ریخته‌گری استفاده می‌شود و اخیراً، در صنایع مدرن مانند چسب در رنگ‌های غیرآلی، استحکام‌دهنده در پوشش‌های سخت و به‌خصوص، به عنوان ذرات ساینده در دوغاب پولیش شیمیایی - مکانیکی به کار گرفته شده است. سیلیکای کلوئیدی در تعدادی از دوغاب‌های پولیش شیمیایی - مکانیکی تجاری به عنوان ماده‌ی اولیه استفاده می‌شود. برای کاربرد سیلیکا در دوغاب پولیش شیمیایی - مکانیکی به خلوص بالا و اندازه ذرات درشت نیاز است [1,2].

کلوئید سوسپانسیونی است که در آن فاز جامد با ذرات کوچک (قریباً ۱۰۰ نانومتر) در یک فاز یا محیط مایع دیگر پراکنده شده است، به گونه‌ای که تأثیر نیروهای گرانشی در آن قابل چشم‌پوشی است. در یک کلوئید، نیروهای کوتاه بُرد مانند واندروالس و بارهای سطحی، بر سایر نیروها غلبه دارند. در این حالت، اینرسی فاز پراکنده به اندازه‌ی کافی کوچک است و دارای حرکت براونی یا برخورد تصادفی ذرات و مایع است. سُل سوسپانسیون کلوئیدی ذرات جامد در یک

مولار شسته شد. سپس، از سیلیکات سدیم (معروف به آب شیشه) خریداری شده از شرکت میرک (Art) نوع No:1.05621.2500 ۲۸/۵Wt% ۲۵/۵-۲۸/۵Wt% با ترکیب  $\text{Na}_2\text{O}$  ۷/۵-۸/۵Wt% و چگالی  $1.396 \text{ g/cm}^3$   $\text{SiO}_2$  و٪ در دمای  $20^\circ\text{C}$  به منظور تهیه اسید سیلیسیک استفاده شد. ۳۷/۵ گرم از این سیلیکات سدیم به  $200$  میلی لیتر آب مقطر اضافه شده و خوب به هم زده شد. سپس، محلول به دست آمده درون ستون شیشه‌ای حاوی رزین کاتیونی شستشو داده شده با اسید و خنثی شده با آب مقطر، ریخته شد. پس از یک ساعت ماندن درون ستون، شیر آن به آرامی باز شد و محلول خروجی اسیدی با pH حدود  $3.5-4$  جمع آوری شد. جمع آوری محلول تا جایی ادامه پیدا کرد تا pH محلول درون ستون دوباره به حدود  $4$  برسد. بعد از جمع آوری محلول، ستون شیشه‌ای حاوی رزین کاتیونی چندین بار با آب شستشو داده شد تا برای استفاده مجدد آماده شود. محلول اسیدی حاصل، اسید سیلیسیک ( $\text{H}_2\text{SiO}_3$ ) بود. رزین با توجه به ساختار و سرّهای آزاد یونی خود، در این حالت به عنوان عامل مؤثر در تبدلات یونی و جایگزینی یون  $\text{Na}^+$  و  $\text{H}^+$  عمل می‌کند. واکنش‌های مربوط به تشکیل اسید سیلیسیک به شکل زیر هستند:

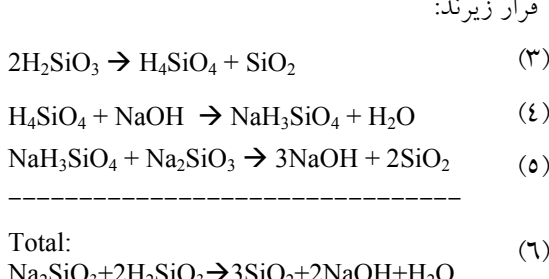


با تغییر درصد وزنی سیلیکات سدیم، اسید سیلیسیک با درصدهای سیلیکات متفاوت تهیه شد. لازم به اشاره است که کترل غلظت سیلیکات سدیم برای جلوگیری از ژل شدن رزین درون ستون و تهیه اسید سیلیسیک با درصد  $\text{SiO}_2$  مناسب و مطلوب، اهمیت بسیاری دارد (در محدوده بین  $1$  تا  $2$  درصد به گونه‌ای که آنقدر کم نباشد که در مرحله‌ی بعدی قادر به انجام واکنش با سیلیکات سدیم نباشد، و آنقدر

صرفه برای سنتز نانوذرات سیلیکات کلوئیدی کروی با استفاده از منع اولیه آب شیشه استفاده شده است. برتری این تحقیق در مقایسه با تحقیقات دیگر، دست‌یابی به ترکیب کلوئیدی با غلطی بالاتر از ذرات سیلیکا و حد پایداری مناسب‌تری است. تأثیر غلظت محلول بازی و اسید سیلیسیک تهیه شده به روش جانشینی کاتیونی در حجم ثابتی از اسید مصرفی و نرخ ثابت افزودن اسید سیلیسیک به محلول بازی بر اندازه‌ی ذرات و پایداری سُل کلوئیدی، از جمله مواردی هستند که در این تحقیق به آن‌ها پرداخته شده است. افرون بر این، تأثیرات غلظت اسید سیلیسیک و محلول بازی، pH و دمای فرایند بر غلظت نمونه‌های کلوئیدی با استفاده از آزمون طیف‌سنجی جذب اتمی بررسی شدند.

### روش آزمایش

برای تهیه اسید سیلیسیک به منظور سنتز سیلیکات کلوئیدی، از خاصیت جانشینی کاتیونی رزین استفاده شد. برای این منظور، ستون شیشه‌ای استوانه‌ای شکلی به قطر دهانه  $8$  سانتی‌متر و ارتفاع  $50$  سانتی‌متر طراحی شد. سپس، حجم مشخصی از دانه‌های کروی شکل رزین کاتیونی آمبریلت (Amberlite IR-120) به قطر تقریبی  $1$  تا  $2$  میلی‌متر، به مدت یک شبانه روز در آب مقطر دوبار تقطیر شده (DI) قرار داده شد. هدف از انجام این عملیات، رساندن دانه‌های رزین به حداقل حجم انبساطی خود بود تا هنگام قرار گرفتن درون ظرف شیشه‌ای استوانه‌ای شکل و افزودن آب به آن، حجم رزین اضافه نشده و موجب انفجار ظرف نگهدارنده شیشه‌ای نشود. پس از آن، دانه‌های منبسط شده رزین تا ارتفاع  $25$  سانتی‌متری در ستون تعییه شده ریخته شد و تا حدود  $3$  سانتی‌متر بالای رزین، به آرامی آب مقطر دوبار تقطیر شده اضافه شد. ستون شیشه‌ای با استفاده از  $200$  میلی‌لیتر اسید یدروکلریدریک (HCl) یک



این عملیات برای چهارده سُل مختلف با تغییر در غلظت اسید و باز ( محلول آب شیشه )، دمای واکنش و سرعت تیتراسیون اسید، مطابق با جدول (۱)، تکرار شد.

جدول ۱ کد نمونه‌های سُل تهیه شده با غلظت‌های مختلف از اسید و محلول قلیایی آب شیشه.

کد نمونه	حجم اسید شیشه (ml)	افرازیت اسید (ml/min)	دمای واکنش (°C)	غلظت پایر آب شیشه (Wt.% SiO <sub>2</sub> )	غلظت اسید سیلیسیک (Wt.% SiO <sub>2</sub> )	نام
S <sub>1</sub>	۲۰۰	۰/۸۵	۸۶	۱	۷	
S <sub>2</sub>	۲۰۰	۰/۸۲	۸۶	۲	۷	
S <sub>3</sub>	۲۰۰	۰/۸۳	۸۶	۳	۷	
S <sub>4</sub>	۲۰۰	۰/۸۳	۸۶	۳	۴	
S <sub>5</sub>	۲۰۰	۰/۸۲	۸۶	۲	۴	
S <sub>6</sub>	۲۰۰	۰/۸۳	۸۶	۱	۴	
S <sub>7</sub>	۲۰۰	۰/۹۰	۷۵	۲	۴	
S <sub>8</sub>	۲۰۰	۰/۱۰	۹۴	۳	۲/۵	
S <sub>9</sub>	۲۰۰	۰/۴۰	۸۶	۳	۷	
S <sub>10</sub>	۲۰۰	۰/۹۰	۸۶	۳	۷	
S <sub>11</sub>	۲۵۰	۰/۹۰	۸۶	۳	۷	
S <sub>12</sub>	۳۰۰	۰/۹۰	۸۴	۳	۷	
S <sub>13</sub>	۲۰۰	۰/۷۵	۷۵	۲	۸	
S <sub>14</sub>	۱۰۰	۰/۹۰	۸۶	۱	۱۰	

غلظت SiO<sub>2</sub> و pH نمونه‌های کلوئیدی، به ترتیب با استفاده از روش گروای متري و pH سنج

زياد نباشد که باعث ژل شدن ستون رزین شود). بعد از تهیه اسید سیلیسیک، حدود ۲۰۰ سانتی متر مکعب از آن با غلظت‌های متفاوت در قیف جداگانه شیشه‌ای ریخته شد. سپس، در یک ظرف پلیمری استوانه‌ای شکل به قطر تقریبی ۵ سانتی متر و ارتفاع حدود ۱۰ سانتی متر، محلول آب شیشه‌ی ۱، ۲ و ۳ درصد در ۳۰ سانتی متر مکعب آب (یعنی ۲/۶، ۱/۳ و ۳/۹ گرم آب شیشه در ۳۰ سانتی متر مکعب آب) تهیه شد. در ادامه، مجموعه‌ی مشکل از گرمکن و همزن، پایه‌ی آهنی و گیره‌های نگهدارنده، دماسنجه و ظرف پیرکس حاوی روغن سیلیسیم برای انتقال سریع حرارت با قابلیت تحمل دماهای بالاتر از ۱۰۰ °C بدون تبخیر شدن، ساخته شد. بعد از رسیدن دمای محلول آب شیشه درون ظرف پلیمری به حدود ۸۰-۹۰ °C اسید سیلیسیک داخل قیف جداگانه به شکل قطره‌چکانی و به آرامی با نرخ کنترل شده‌ی ۰/۸۵ ml/min، به محلول آب شیشه اضافه شد. با افزودن هر قطره از اسید، مدت زمان کافی برای تشکیل ذرات ریز کلوئیدی درون محلول آب شیشه داده شد، ولی حجم محلول به میزان ۳۰ سانتی متر مکعب ثابت نگهداشته شد. به عبارت دیگر، نرخ افزودن اسید می‌باید با نرخ تبخیر از محلول برابر می‌بود تا حجم محلول در ۳۰ سانتی متر مکعب ثابت باقی بماند. با ادامه‌ی افزودن به این شکل، تشکیل ذرات کلوئیدی درون محلول به تدریج مشهودتر شد، به طوری که رنگ محلول به تدریج به سفیدی گرایید. باید توجه داشت که کنترل لحظه‌ای pH با کاغذ ترنسیل حین عملیات الزامی است، چرا که با افت pH از مقدار ۱۱ و معادل آن، رسیدن pH محلول اولیه‌ی سیلیکات سدیم به ۷-۸، امکان ژل شدن محلول کلوئیدی وجود دارد. بنابراین، pH محلول باید از ۹ کمتر شود و به همین دلیل، pH محلول در محدوده‌ی ۹/۵-۱۱/۵ کنترل شد.

واکنش‌های مربوط به تشکیل سُل کلوئیدی SiO<sub>2</sub> به

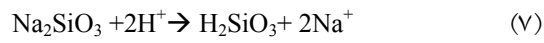
تعدادی از محققان، از جمله لانچ و همکاران، [11]، معتقدند که فرایند پلیمر شدن تا جایی ادامه می‌باید که غلظت سیلیکای مُنومر یا اسید سیلیسیک به غلظت سیلیکای بی‌شکل برسد. نتایج حاصل از تولید اسید سیلیسیک به روش جانشینی کاتیونی رزین نشان داد که بیشترین غلظت  $\text{SiO}_2$  در محلول سیلیکات سدیم برای عبور از رزین کاتیونی در محدوده ۷ تا ۸ درصد وزنی قرار دارد. غلظت‌های بالاتر از ۸ درصد وزنی موجب ژل شدن و پرشدن فضاهای خالی میان ذرات رزین و جلوگیری از عملکرد صحیح رزین می‌شود.

در مرحله‌ی بعد و زمانی که محلول قلیایی سیلیکات سدیم در نقطه‌ی تیتراسیون اسید سیلیسیک در محلول خشی می‌شود، جوانه‌ی سیلیکا در محلول شکل می‌گیرد [11]. در توضیح سازوکار تشکیل ذرات کلوئیدی باید گفت که ذرات پراکنده شده در محلول با یون‌هایی با بار مخالف احاطه شده و یک لایه تشکیل می‌دهند. این لایه، لایه‌ی ثابت (stern) نامیده می‌شود. بیرون از این لایه‌ی ثابت، ترکیب‌های مختلفی از یون‌های با دوقطبی‌های مخالف به وجود می‌آیند که یک ناحیه‌ی ابر شکلی را به وجود می‌آورند. این ناحیه، لایه‌ی نفوذی دوتایی (double diffuse layer) نامیده می‌شود و کل منطقه از نقطه نظر بار الکتریکی خشی است [11]. بنابراین، می‌توان تشکیل ذرات کلوئیدی را با فرایند‌هایی نظیر نفوذ، جریان متلاطم و نیروی ثقل بر روی سطح ذرات توجیه کرد. تشکیل سُل کلوئیدی با حد پایداری بالا، بیشتر در این مرحله از تحقیق مورد نظر بوده است. دما و pH نقش بسیار مهمی را در تشکیل ذرات سیلیکای کلوئیدی ایفا می‌کنند. نتایج تحقیق کریمی و همکاران، [12]، نشان داده‌اند که سوسپانسیون‌های کلوئیدی با تنظیم pH در محدوده ۹-۱۲/۵ و ثابت نگهداشتن دما در محدوده  $150^{\circ}\text{C}$ -۵۰، پایدار می‌شوند. بهترین محدوده پایداری دمایی

مدل 8252 BLD اندازه‌گیری شد. از روش طیف‌سنجدی نوری دینامیکی با استفاده از دستگاه مدل Malvern Zeta Sizer، Nano ZS ZEN 6 3600 برای اندازه‌گیری پتانسیل زتا و اندازه‌ی ذرات سیلیکای کلوئیدی استفاده شد. از میکروسکپ الکترونی روبشی (SEM) با استفاده از دستگاه Philips، XL30، برای بررسی‌های ریز ساختاری و شکل ذرات در این نمونه‌ها استفاده شد. در نهایت، اندازه و شکل حفره‌ها و سطح ویژه‌ی ذرات در نمونه‌ی بهینه‌ی نهایی، با استفاده از آزمون تعیین سطح ویژه و تخلخل سنجدی و منحنی‌های همدمازی جذب نیتروژن در دمای K ۷۷ با استفاده از دستگاه تخلخل سنج مدل ASAP 2010M اندازه‌گیری شد.

## نتایج و بحث

مرحله‌ی اول از تشکیل اسید سیلیسیک، مربوط به الکترودیالیز (electrodialysis) یا مرحله‌ای است که به برخورد سیلیکات‌های ترکیب سیلیکات سدیم با یون‌های هیدروژن از رزین کاتیونی با قابلیت جانشینی یونی مربوط می‌شود. اسید سیلیسیک اولیه در فرایندهای چند مرحله‌ای پلیمری و مُنومری از محلول سیلیکات سدیم تهیه شد. خشی کردن متابسیلیکات سدیم مطابق با واکنش ۷ انجام گرفت و بهاین ترتیب، واحد مُنومری  $\text{H}_2\text{SiO}_3$  ایجاد شد.



درجه‌ای که در آن مُنومر در محلول شکل می‌گیرد، تابع pH و رقت محلول است، اما مرحله دوم که مربوط به واکنش‌های پلیمری است، شامل دو واکنش زیر است که در دو جمله‌ی گروه‌های عاملی و واکنش بین آن‌ها در طول واکنش خلاصه می‌شود.



سدیم اولیه، غلظت اسید سیلیسیک اولیه‌ی تیتر شده به درون محلول قلیایی، سرعت تیتراسیون اسید، مقدار اسید تیتر شده و دمای واکنش بستگی دارد. نتایج حاصل برای نمونه‌های  $S_1$  تا  $S_6$  با شرایط کاملاً یکسان از نقطه نظر دمای واکنش، سرعت تیتراسیون اسید و مقدار اسید تیتر شده با تغییر در غلظت اسید و محلول قلیایی در تهیه سیلیکای کلوئیدی، نشان دادند که با افزایش غلظت اسید در تیتراسیون اولیه، غلظت نمونه سُل نهایی افزایش می‌یابد. افزو براين، با افزایش غلظت محلول سیلیکات سدیم اولیه (محلول قلیایی)، غلظت سُل سیلیکای نهایی نیز افزایش می‌یابد. شکل (۱) تأثیر افزایش غلظت اسید و سیلیکات سدیم را در غلظت ترکیب نهایی سیلیکا نشان می‌دهد.

نتایج مربوط به نمونه‌های تهیه شده با تغییر در عوامل واکنش، از جمله نرخ تیتراسیون اسید، حجم اسید سیلیسیک، افزایش غلظت اسید سیلیسیک تیتر شده و غلظت محلول قلیایی سیلیکات سدیم، نشان دادند که با افزایش غلظت هر یک از واکنش‌دهنده‌ها (اعم از اسید سیلیسیک و محلول سیلیکات سدیم)، کاهش نرخ تیتراسیون اسید سیلیسیک و افزایش اسید سیلیسیک مصرفی و غلظت نمونه‌ی کلوئیدی نهایی سیر افزایشی دارد. افزون بر این، مطابق با نتایج به دست آمده، غلظت اسید، نرخ تیتراسیون اسید و غلظت محلول بازی به ترتیب بیشترین نقش را در افزایش غلظت محصول نهایی ایفا می‌کند.

نتایج این تحقیق نشان دادند که اندازه ذرات سیلیکای کلوئیدی به شدت به غلظت محلول قلیایی اولیه در محلول اصلی، غلظت اسید سیلیسیک تیتر شده به درون محلول اولیه، سرعت تیتراسیون اسید و دمای واکنش به درون محلول قلیایی وابسته است. اندازه متوسط ذرات سیلیکای کلوئیدی برای تعدادی از نمونه‌های ستنز شده در جدول (۳) آورده شده است.

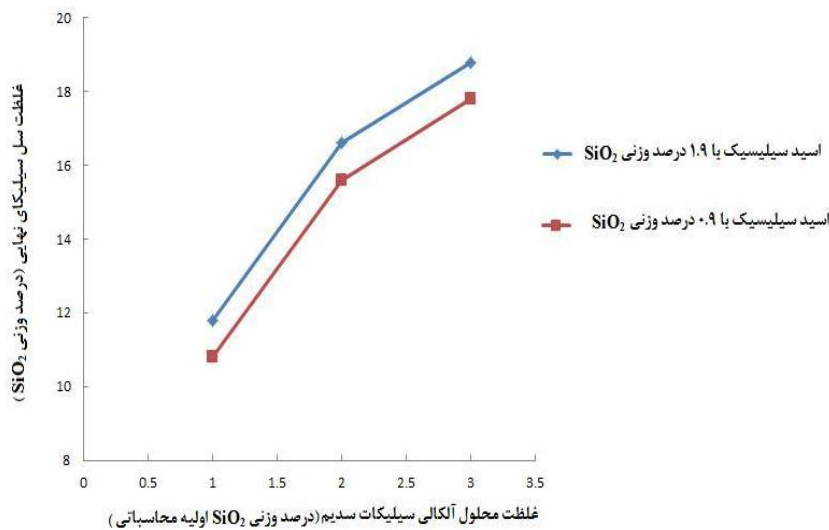
بین  $60^{\circ}\text{C}$  و  $95^{\circ}\text{C}$  قرار دارد که در آن، غلظت با کنترل نرخ تبخر کنترل می‌شود. زمانی که  $\text{pH}$  به زیر ۹ می‌رسد، پلیمر شدن برای تشکیل دانه‌ی اولیه اتفاق نمی‌افتد و زمانی که  $\text{pH}$  به بالاتر از  $12/5$  رسید، دانه در سُل اولیه حل می‌شود و امکان ایجاد دانه‌ی نهایی فراهم نمی‌شود. افزون بر این، اگر دمای واکنش به زیر  $50^{\circ}\text{C}$  برسد، سُل سیلیکای یکنواختی حاصل نمی‌شود و زمانی که دما به بالاتر از  $150^{\circ}\text{C}$  برسد، توزیع قطر ذرات در محلول ناهمگن می‌شود [۱۳].

نتایج حاصل از آزمون طیف‌سنجی اتمی (AAS) در مورد نمونه‌های کلوئیدی و اسید سیلیسیک‌های تهیه شده از محلول‌های سیلیکاتی حاوی ۴ و ۷ درصد وزنی  $\text{SiO}_2$  که برای ستنز نمونه‌های کلوئیدی به کار گرفته شده‌اند، در جدول (۲) خلاصه شده‌اند.

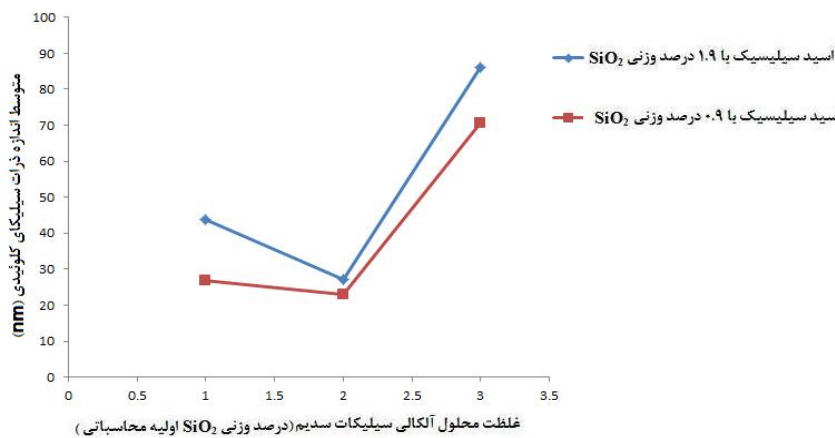
جدول ۲ غلظت نمونه‌های اسید سیلیسیک و نمونه‌های کلوئیدی بر اساس درصد وزنی  $\text{SiO}_2$  و  $\text{Si}$

نمونه	وزنی $\text{SiO}_2$ (%)	وزنی $\text{Si}$ (%)	غلظت $\text{SiO}_2$ (Wt.%SiO <sub>2</sub> )	غلظت $\text{Si}$ (Wt.%Si)	نمونه	وزنی $\text{SiO}_2$ (%)	وزنی $\text{Si}$ (%)	غلظت $\text{SiO}_2$ (Wt.%SiO <sub>2</sub> )	غلظت $\text{Si}$ (Wt.%Si)
$S_1$	۱۱/۸	۵/۶۱	۱۴/۷۵	۱/۹۰					
$S_2$	۱۶/۶	۷/۹۰	۲۸/۰۰	۱۰/۹۵					
$S_3$	۱۸/۸	۸/۹۵	۱۷/۰۰	۶/۸۴۶					
$S_4$	۱۷/۸	۸/۴۷	۲۲/۰۰	۱۰/۰۴					
$S_5$	۱۵/۶	۷/۴۲	۲۹/۶۰	۱۴/۰۹					
$S_6$	۱۰/۸	۵/۱۴	۲۴/۳۸	۱۱/۴۰					
$S_7$	۱۶/۸	۷/۷۰	۳۴/۸۶	۱۶/۳۰					
اسید	۰/۹	۰/۴۲	اسید٪۷	۰/۹۰					

همان‌طور که در جدول (۲) دیده می‌شود، غلظت نمونه‌های کلوئیدی به غلظت محلول قلیایی سیلیکات



شکل ۱ تغییرات غلظت سیلیکاها کلوئیدی با تغییر غلظت اسید و محلول قلیایی در شرایط واکنشی یکسان



شکل ۲ تغییرات اندازه‌ی متوسط ذرات سیلیکاها کلوئیدی با تغییر غلظت اسید و محلول قلیایی در شرایط واکنشی یکسان.

جدول ۳ اندازه‌ی متوسط ذرات سل‌های سیلیکای تهیه شده.

S <sub>14</sub>	S <sub>13</sub>	S <sub>9</sub>	S <sub>6</sub>	S <sub>5</sub>	S <sub>4</sub>	S <sub>3</sub>	S <sub>2</sub>	S <sub>1</sub>	نام نمونه
۹۲۶/۰۰	۳۲۱/۹۰	۶۳۴/۲۰	۲۶/۷۱	۲۳/۰۸	۷۰/۴۷	۸۶/۱۲	۲۷/۱۱	۴۳/۹۰	اندازه‌ی متوسط ذرات سیلیکای کلوئیدی (nm)

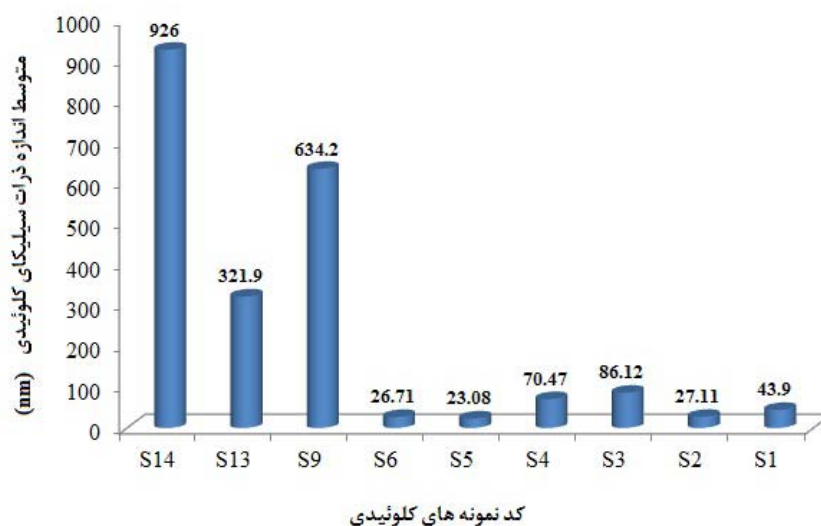
سیلیسیک از ۰/۹ تا ۱/۹ در غلظت ثابتی از محلول قلیایی اولیه، افزایش می‌یابد. دلیل رفتار را می‌توان کاهش سریع pH در نقطه‌ی بخورد قطره‌ی اولیه با محلول قلیایی که موجب توده‌ای شدن دانه‌ها به علت تغییر آنی pH حین تیتراسیون اسید می‌شود، عنوان کرد [12]. افزون بر این، میکروژل‌ها در این شرایط به جای

برای بررسی بیش‌تر عوامل مؤثر، تغییرات اندازه‌ی متوسط ذرات سیلیکای کلوئیدی در دو نمونه با غلظت‌های متفاوتی از اسید سیلیسیک و محلول قلیایی و شرایط واکنشی، در شکل (۲) مقایسه شده است. همان‌طور که دیده می‌شود، اندازه‌ی متوسط ذرات سیلیکای کلوئیدی با افزایش غلظت اسید

مخالف در محلول و کاهش ضخامت لایه‌ی الکترونیکی دوتایی، به راحتی در تماس با یکدیگر قرار می‌گیرند. در این شرایط، نرخ رشد جوانه‌ی سیلیکا از نرخ تشکیل جوانه‌ی جدید بیشتر شده و این باعث افزایش اندازه‌ی ذرات سیلیکای کلوئیدی می‌شود.

از سوی دیگر، تشکیل سیلیکای کلوئیدی به شدت به کسر وزنی ذرات سیلیکا در محلول و اندازه‌ی ذرات سیلیکای کلوئیدی وابسته است [15]. گزارش شده است، [15]، که محلول سیلیکای کلوئیدی با ذرات سیلیکای کوچک (کوچک‌تر از ۱۰ نانومتر) کاملاً شفاف و محلول‌های کلوئیدی با اندازه‌ی ذرات متوجه (بین ۱۰ و ۲۰ نانومتر) ظاهری شیری رنگ دارند، به گونه‌ای که تا حدودی قابلیت عبور نور را از خود دارند. افزون برین، محلول‌های کلوئیدی با اندازه‌ی ذرات درشت (بزرگ‌تر از ۲۰ نانومتر) ظاهری کاملاً سفید رنگ و کدر دارند. تغییرات اندازه‌ی متوسط ذرات سیلیکای کلوئیدی با درصدهای مختلفی از محصول نهایی سیلیکای کلوئیدی به همراه کد نمونه شده است.

ذرات کلوئیدی تشکیل می‌شوند که در دیواره‌های بشر حین تیتراسیون بر جای می‌مانند [12]. این میکروژلهای موجب افزایش رشد سطحی حین واکنش می‌شوند. این نیز خود عامل دیگری برای افزایش اندازه‌ی ذرات کلوئیدی حین واکنش است. همان‌طور که دیده می‌شود، اندازه‌ی ذرات سیلیکای کلوئیدی با افزایش مقدار اسید افزایش می‌یابد. از طرفی، واضح است که اندازه‌ی میانگین ذرات سیلیس کروی کلوئیدی با افزایش غلظت محلول قلیایی به بیش از ۲ درصد وزنی در مقدار ثابت اسید سیلیسیک (۰/۹ یا ۱/۹ درصد وزنی  $\text{SiO}_2$ )، ابتدا اندکی کاهش و سپس افزایش یافته است. کاهش اولیه‌ی اندازه‌ی ذرات را می‌توان مطابق با تئوری برخورد، [14]، در تیتراسیون توجیه کرد. این تئوری بیان‌گر آن است که اندازه‌ی ذرات نهایی با کاهش غلظت واکنش‌دهنده‌ها افزایش می‌یابد و نرخ تشکیل جوانه در این حالت از نرخ رشد جوانه بیش‌تر خواهد بود، ولی به نظر می‌رسد که با افزایش بیش‌تر غلظت محلول قلیایی تا مقادیر بالاتر از ۲ درصد وزنی، قدرت اتصالات یونی افزایش یافته است، زیرا ذرات سیلیکای کلوئیدی اولیه به علت اثر بارهای



شکل ۳ تغییرات اندازه متوسط ذرات سیلیکای کلوئیدی با درصدهای مختلفی از محصول نهایی سیلیکای کلوئیدی به همراه کد نمونه‌های کلوئیدی

جدول ۴ پتانسیل زتا ذرات سیلیکای کلوئیدی.

S <sub>14</sub>	S <sub>13</sub>	S <sub>9</sub>	S <sub>6</sub>	S <sub>5</sub>	S <sub>4</sub>	S <sub>3</sub>	S <sub>2</sub>	S <sub>1</sub>	نام نمونه
-۲/۶	-۱۱/۴	-۱۲/۷	-۵۰/۳	-۳۵/۵	-۳۷/۷	-۳۶/۵	-۴۵/۷	-۵۸/۷	پتانسیل زتا سیلیکای کلوئیدی (mv)
۸/۰۵	۸/۵۸	۸/۷۶	۱۰/۶۷	۱۱/۰۸	۱۱/۰۹	۱۰/۹۴	۱۰/۷۷	۹/۹۸	pH

سیلیسیک را به دنبال دارد و در نهایت، منجر به جوانهزنی همگن می‌شود. ذرات سیلیکای تشکیل شده در این شرایط ریز هستند. حال اگر سرعت تیتراسیون کمتر از سرعت رشد سطح باشد، زمان برای رشد سطح کافی است و به نظر می‌رسد که سازوکار غالب در این حالت برای تشکیل ذرات کلوئیدی، رشد سطح باشد.

در مورد تأثیر دمای واکنش بر رشد ذرات سیلیکای کلوئیدی باید گفت که این تأثیر در دماهای زیر ۸۰ °C چشم‌گیر نیست، اما نقش آن در دماهای بالاتر از ۱۰۰ °C ۱۰۰ نمایان می‌شود. با افزایش دمای واکنش، ذرات رشد کرده و اندازه متوسط ذرات کلوئیدی در محلول افزایش می‌یابد.

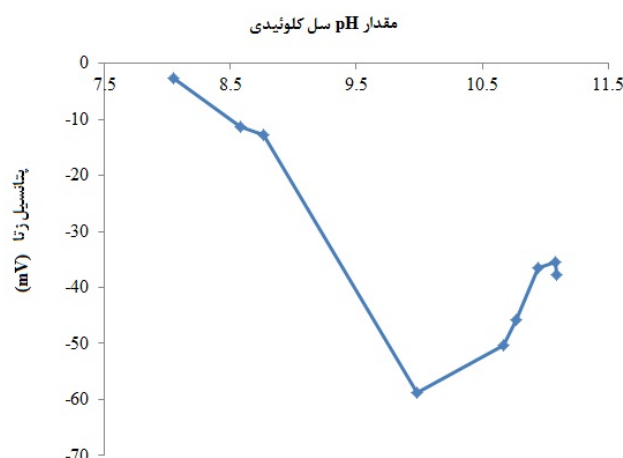
پتانسیل زتا عامل دیگری بود که در این تحقیق مطالعه شد. مهم‌ترین عاملی که پتانسیل زتا را تحت تأثیر خود قرار می‌دهد، میزان pH محلول است. جدول (۴) تغییرات پتانسیل زتا را با تغییر میزان pH محلول کلوئیدی نشان می‌دهد. در شکل (۴) نیز تغییرات پتانسیل زتا بر حسب تغییرات pH به تصویر کشیده شده است. پتانسیل زتا نشان‌دهنده‌ی پتانسیل الکتریکی ناحیه‌ی درونی لغزش یافته در اثر اعمال ولتاژ به محلول کلوئیدی و حرکت ذرات به دلیل حضور بارهای سطحی در لایه‌ی ثابت و بخشی از لایه‌ی نفوذی می‌باشد [۱۶]. زمانی که پتانسیل زتا به سمت صفر میل می‌کند، ذرات تمایل به تجمع یا توده‌ای شدن پیدا می‌کنند [۱۶].

با مقایسه‌ی نتایج می‌توان گفت که اگر غلاظت محلول قلیایی اولیه افزایش یابد، ذرات تمایل بیشتری به جذب بارهای منفی پیدا می‌کنند و پتانسیل زتا

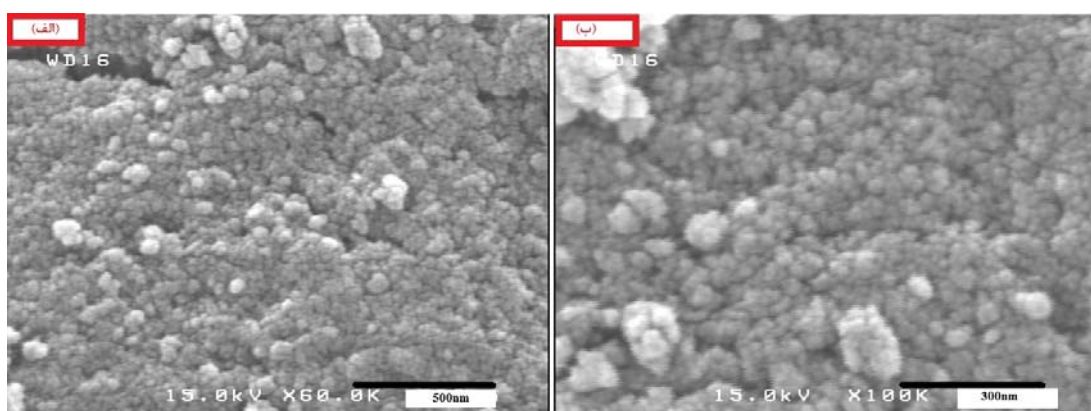
همان‌طورکه در شکل (۳) مشاهده می‌شود، اندازه متوسط ذرات سیلیکای کلوئیدی تا زمانی که غلاظت سُل سیلیکا به ۱۶ درصد وزنی SiO<sub>2</sub> بر سد (نمونه‌ی S<sub>2</sub>)، تقریباً ثابت است. سپس در این نقطه، با افزایش بیشتر غلاظت سُل تا مقداری بالاتر از ۱۶ درصد وزنی SiO<sub>2</sub> برای سُل سیلیکا، اندازه متوسط ذرات به صورت نمایی افزایش می‌یابد. علت این افزایش را می‌توان این‌گونه توجیه کرد که پس از غلاظت ۱۶ درصد وزنی SiO<sub>2</sub> در سُل، به نظر می‌رسد که بخشن اعظم اسید سیلیسیک افزوده شده بر روی سطح ذرات جذب شده و تنها مقداری از اسید سیلیسیک می‌تواند به صورت همگن جوانهزنی کرده و جوانه‌های جدید را تشکیل دهد. این رفتار می‌تواند باعث افزایش اندازه متوسط ذرات سیلیکا در سُل شود. همان‌گونه که در شکل (۳) دیده می‌شود، با افزایش غلاظت در نمونه کلوئیدی، اندازه متوسط ذرات افزایش قابل توجهی داشته و به مقداری بالاتر از ۹۰۰ نانومتر نیز رسیده است. افزون بر این، مقایسه‌ی شرایط آزمون برای نمونه‌های S<sub>9</sub> و S<sub>14</sub> در جدول (۴) نشان می‌دهد که اندازه متوسط ذرات سیلیکای کلوئیدی با کاهش سرعت تیتراسیون افزایش می‌یابد. از طرف دیگر، اندازه متوسط ذرات سیلیکای کلوئیدی با سرعت کم تیتراسیون اسید سیلیسیک، بیشتر از این مقدار برای ذرات تشکیل شده با سرعت بالای تیتراسیون اسید است. این رفتار ممکن است ناشی از اختلاف زمانی بین سرعت رشد سطح و زمان تیتراسیون باشد. اگر سرعت تیتراسیون بیشتر از سرعت رشد سطح باشد، اسید سیلیسیک زمان کافی برای مصرف شدن بر روی سطح ذرات را نخواهد داشت و این، انباستگی اسید

با افزایش غلظت و کاهش pH تا مقدار حدود ۸/۵ وارد منطقه‌ی ناپایدار  $30\text{ mV}/30\text{ mv}$  می‌شوند و در این حالت، دارای پایداری کم‌تری در مقایسه با سُل‌هایی با غلظت کم‌تر  $\text{SiO}_2$  هستند. تصویرهای SEM از نمونه‌های کلوئیدی  $\text{S}_3$  و  $\text{S}_6$  به ترتیب حاوی ۱۸/۸ و ۱۰/۸ درصد وزنی  $\text{SiO}_2$  در دو بزرگنمایی مختلف در شکل ۵ (الف و ب) نشان داده شده‌اند. همان‌طور که مشاهده می‌شود، نمونه‌ها از ذرات کروی یکنواخت به قطرهای به ترتیب ۲۶/۱۲ و ۲۶/۷۱ نانومتر تشکیل شده‌اند.

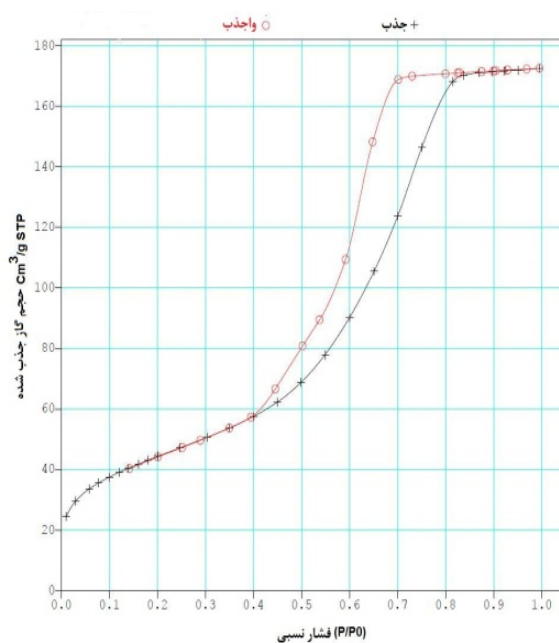
به سمت مقادیر مثبت‌تر افزایش می‌یابد. به طور همزمان، اگر غلظت اسید سیلیسیک افزایش یابد، نقطه‌ای می‌رسد که در آن بارها خشی می‌شوند و افزایش بیش‌تر غلظت اسید سیلیسیک باعث ایجاد بارهای مثبت و نهایتاً، کاهش پتانسیل زتا بر حسب pH کل می‌توان گفت که نمودار پتانسیل زتا بر حسب pH در مقادیر کم pH مثبت و در مقادیر زیاد pH منفی است. ذراتی با پتانسیل زتا منفی‌تر از  $-30\text{ mV}$  می‌ولت و یا مثبت‌تر از  $30\text{ mV}$  می‌ولت، ذرات پایداری محسوب می‌شوند. بنابراین، نتایج به دست آمده در این تحقیق نشان می‌دهند که سُل‌های کلوئیدی تهیه شده در محدوده pH بین ۹ و ۱۱، سُل‌های پایداری هستند و



شکل ۴ تغییرات پتانسیل زتا بر حسب pH در محلول‌های کلوئیدی.



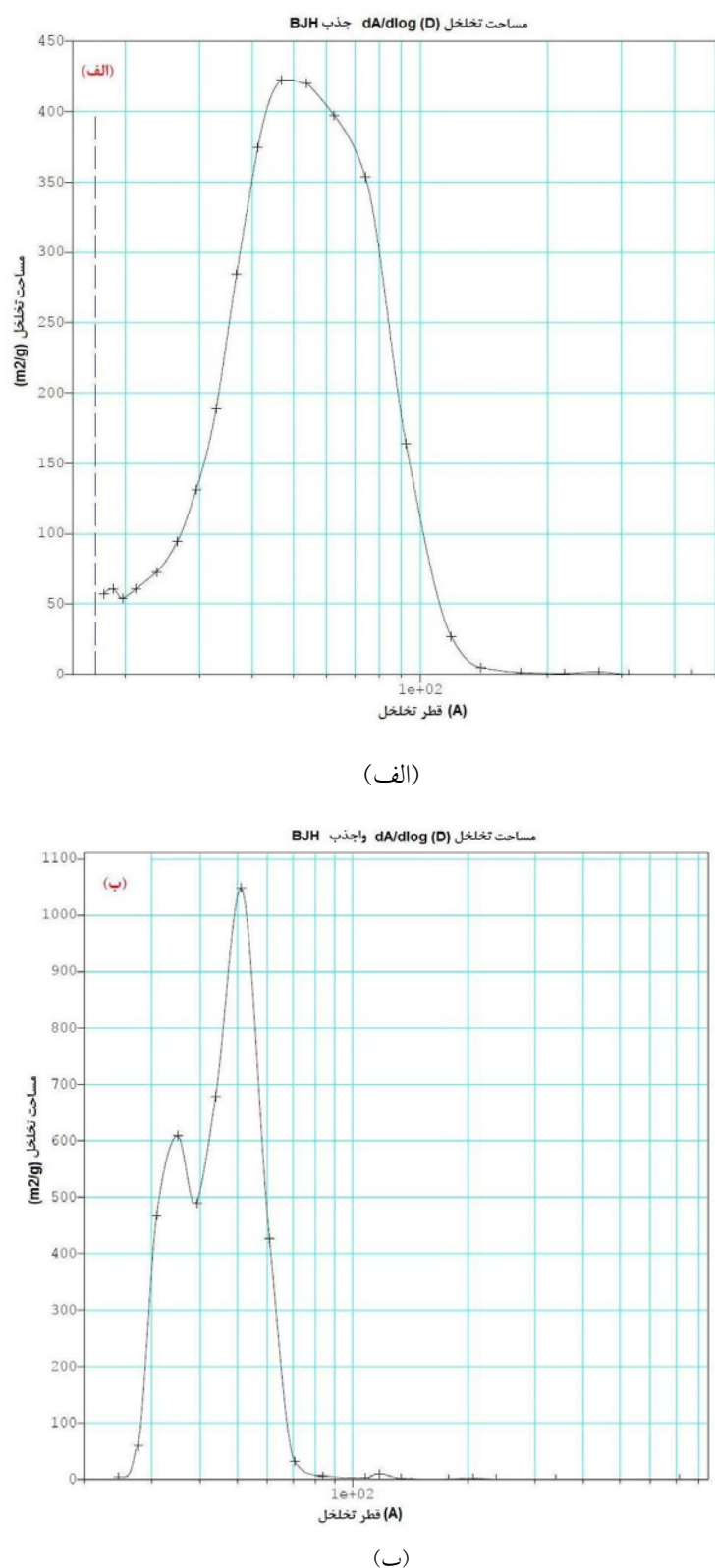
شکل ۵ تصویرهای میکروسکوپ الکترونی روبشی (SEM) از نمونه‌های  $\text{S}_3$  (الف) و  $\text{S}_6$  (ب) با غلظت‌های ۱۸/۸ و ۱۰/۸ درصد وزنی  $\text{SiO}_2$  در بزرگنمایی‌های به ترتیب ۶۰۰۰۰ و ۱۰۰۰۰۰ برابر.



شکل ۶ منحنی همدمای جذب و واجدب نیتروژن در نمونه‌ی  $S_6$  در دمای  $K=77$ .

گاز در فشارهای کم با یک مرحله افزایش در میزان نیتروژن را می‌توان در محدوده فشار نسبی  $P/P_0 < 0.8/4$  دنبال کرد، و این به علت تغليظ کاپیلاری در داخل ریزحفره‌هاست. نمودار BJH کاپیلاری در شکل (۷) (الف و ب) نشان می‌دهد نمونه‌ی  $S_6$  نیز در شکل (۷) (الف و ب) نشان می‌دهد که ترکیب ساختار ریزحفره دارد، زیرا پیک اصلی باشد بالا در نمودار جذب BJH که نشان‌دهنده‌ی توزیع اندازه‌ی حفرات (PSD) است، در محدوده‌ی ریزتخلخل (بین ۲ تا  $50\text{ nm}$ ) قرار دارد. وجود پیک اصلی در محدوده‌ی ریزتخلخل موجب شده است که اندازه‌ی میانگین حفره‌ها  $55/98\text{ }\text{\AA}$  آنگستروم باشد. نمودار واجدب BJH برای این نمونه نشان‌دهنده‌ی دو پیک اصلی در  $20$  و  $45\text{ آنگستروم}$  است. حلقه‌ی پس‌ماند جزئی در منحنی همدمای جذب و واجدب نشان می‌دهد که بخش اعظم حفره‌ها در محدوده‌ی ریز می‌باشد.

نمونه‌ی  $S_6$  با اندازه‌ی متوسط ذرات  $26/71\text{ نانومتر}$  و پتانسیل زتا  $50/3$ -میلیولت، به عنوان نمونه‌ی بهینه و پایدار برای بررسی‌های بعدی انتخاب شد. شکل (۶) منحنی همدمای جذب و واجدب نیتروژن مربوط به این ترکیب را تحت گاز خنثای نیتروژن در دمای  $K=77$  بر اساس فشار نسبی گاز (نسبت فشار کاربردی به فشار اشباع گاز) نشان می‌دهد. منحنی همدمای جذب گاز نیتروژن در این نمونه دقیقاً از نوع V می‌باشد که بر اساس طبقه‌بندی آیوپاک، [17]، ریزتخلخل بودن ترکیب تأیید می‌شود. تغییرات در این نمودار از فشار کم شروع می‌شود. در فشار کمینه‌ی خاصی، حفره‌های کوچک با نیتروژن مایع پر می‌شوند. زمانی که فشار افزایش می‌یابد، حفره‌های بزرگ‌تر پر می‌شوند و نزدیک به ناحیه‌ی اشباع، همهی حفره‌ها پر می‌شوند. حجم کل حفره‌ها در منطقه‌ی جذب با مقدار گاز جذب شده نزدیک به ناحیه‌ی اشباع اندازه‌گیری می‌شود. افزون بر این، حجم حفره‌ها در منطقه‌ی واجدب زمانی که فشار از فشار اشباع کاهش می‌یابد، اندازه‌گیری می‌شود. افزایش خطی حجم جذب شده‌ی



شکل ۷ نمودار BJH؛ (الف): جذب و (ب): واجذب نیتروژن برای محاسبه توزیع اندازه‌ی حفره.

---

جدول ۵ عوامل ساختاری نمونه‌ی کلوئیدی S<sub>6</sub> اندازه‌گیری شده بر اساس نمودارهای جذب و اجذب نیتروژن.

نام نمونه	قطر متوسط حفره‌ها	سطح ویژه BET	سطح ویژه لانگمویر	حجم حفره‌ها
S <sub>6</sub>	۵/۰۹ nm	۱۶۱/۰۸ m <sup>2</sup> /g	۲۳۷/۴۰ m <sup>2</sup> /g	۰/۲۸ cm <sup>2</sup> /g

عوامل، اندازه‌ی متوسط ذرات سیلیکایی با افزایش غلظت محلول بازی سیلیکات سدیم ابتدا افزایش و سپس کاهش یافت. نتایج نشان دادند که اندازه‌ی متوسط ذرات با افزایش غلظت محلول کلوئیدی افزایش و با کاهش آن کاهش می‌باید. نمونه‌ی حاوی ۱۸/۸ درصد وزنی SiO<sub>2</sub> و با پتانسل زتای -۵۰/۳۸ میلی‌ولت و مدت زمان پایداری مناسب و pH در محدوده ۹/۵ تا ۱۱، از بین نمونه‌های سنتز شده به عنوان نمونه‌ی بهینه انتخاب شد. نتایج نشان دهنده‌ی سطح ویژه بالا و برابر با ۱۶۰ m<sup>2</sup>/g برای نمونه‌ی فوق الذکر بودند.

### تقدیر و تشکر

در پایان، از پژوهشگاه صنعت نفت ایران و ریاست محترم پژوهشکده‌ی نانو، جناب آقای دکتر علیمراد رشیدی، به خاطر تأمین بخشی از هزینه‌های انجام این تحقیق تقدیر و تشکر می‌شود.

جدول (۵) اطلاعات مربوط به قطر متوسط حفره‌ها، سطح ویژه BET، سطح ویژه لانگمویر و حجم کل حفره‌ها را برای نمونه‌ی کلوئیدی S<sub>6</sub> نشان می‌دهد.

### نتیجه‌گیری

در این تحقیق، تأثیر عواملی نظیر غلظت اسید سیلیسیک، غلظت محلول بازی سیلیکات سدیم، دمای واکنش و نرخ افزودن اسید بر روی غلظت و اندازه‌ی ذرات سیلیکایی کلوئیدی سنتز شده بررسی شده است. نتایج نشان دادند که با افزایش غلظت هر یک از واکنش‌دهنده‌ها (اعم از اسید سیلیسیک و محلول سیلیکات سدیم)، کاهش نرخ تیتراسیون اسید سیلیسیک و افزایش اسید سیلیسیک مصرفی و غلظت نمونه‌ی کلوئیدی نهایی سیر افزایشی دارد. اندازه‌ی متوسط ذرات سیلیکایی کلوئیدی با افزایش غلظت اسید سیلیسیک، افزایش دمای واکنش، کاهش سرعت تیتراسیون اسید سیلیسیک در غلظت ثابتی از محلول قلیایی اولیه افزایش یافت. افزون بر این، در غلظت ثابتی از اسید سیلیسیک و با ثابت در نظر گرفتن سایر

### مراجع

- Balland, B., Glachant, A., "Chapter 1 Silica, silicon nitride and oxynitride thin films: An overview of fabrication techniques, properties and applications, in Instabilities in Silicon Devices", North-Holland, pp. 3-14 (1999).
- Li, Z., Barnes, J. C. , Bosoy, A., Fraser Stoddart, J., and Zink, J. I., " Mesoporous Silica Nanoparticles in Biomedical Applications", Chem. Soc. Rev., Vol 41, P.P. 2590-2605 (2012).
- Rahman, I. A., and Padavattan, V., "Synthesis of Silica Nanoparticles by Sol-Gel: Size-Dependent Properties, Surface Modification, and Applications in Silica-Polymer Nanocomposites—A Review",

- Journal of Nanomaterials*, P.P. 1-15, (2012) doi:10.1155/2012/132424.
4. Jeffrey Brinker, C. , W.S, G., "Sol-Gel Science, The Physics and Chemistry of Sol-Gel Processing", Academic Press, P.P. 1-15 (1990).
  5. Stober, W., Fink, A. , and Bohn, E., "Controlled growth of monodisperse silica spheres in the micron size range", *Journal of Colloid and Interface Science*, Vol 26(1), P.P. 62-69 (1968).
  6. Chen, S.-L., Peng, D., Guang-Hua,Y., Jiu-Jin, Y., "Characteristic Aspects of Formation of New Particles during the Growth of Monosize Silica Seeds". *Journal of Colloid and Interface Science*, Vol: 180, P.P. 237-241 (1996).
  7. Coenen, S. and Kruif de C.G., "Synthesis and growth of colloidal silica particles"., *Journal of Colloid and Interface Science*, Vol: 124 (1), P.P. 104-110 (1988).
  8. Yoshida, A., "Silica Nucleation, Polymerization, and Growth Preparation of Monodispersed Sols, in The Colloid Chemistry of Silica", American Chemical Society, P.P. 51-66 (1994).
  9. Leksomboon, A. & Jongsomjit, B., "Synthesis of Spherical Silica by Sol-Gel Method and Its Application as Catalyst Support", AJCHE, Vol., 2(10), P.P. 25 – 30 (2010).
  10. Tsai, M. S., Huang, P.Y., Wu, W.C., "The study of formation process of colloidal silica", Vol 40, P.P. 1609–1616, (2005).
  11. Lange, K.R. and Spencer, R.W., "Mechanism of activated silica sol formation. Environmental Science & Technology", Vol., 2(3), P.P. 212-216 (1968).
  12. Karami, A.V., Abedi, G. R., Fattahi, M., "Preparation and Characterization of Colloidal Silica in Alkaline and Constant Range of pH", *Iran. J. Chem. Eng.*, Vol:27(4), P.P. 65-70 (2008).
  13. Nakayama K., Nishida H., Wakamiya Y., "Nodular Silica Soland Method of Producing the Same", Catalysts & Chemicals Industries Co., Ltd, Kawasaki-shi (JP): US. P.P.1-21 (2010).
  14. Thomas, D.N., Judd S.J., and Fawcett, N., "Flocculation modelling: a review", Water Research, Vol: 33(7), P.P. 1579-1592 (1999).
  15. Bergna H. E., Roberts, W. O., "Colloidal Silica: Fundamentals and Applications", CRC Press., P.P. 944 (2005).
  16. "Zeta Potential Analysis of Nanoparticles", Nanocomposix, Vol., 1.1 (2012).
  17. Li, K., "Ceramic Membranes for Separation and Reaction", ed. I.C. London., John Wiley & Sons (2007).